

令和元年6月19日現在

機関番号：11201

研究種目：基盤研究(C) (一般)

研究期間：2016～2018

課題番号：16K00180

研究課題名(和文) GPGPUを用いた超高速疑似乱数発生法に関する研究

研究課題名(英文) Implementation of Ultra-High-Speed Pseudo-Random-Number Generator

研究代表者

吉田 等明 (Yoshida, Hitoaki)

岩手大学・教育学部・教授

研究者番号：00220666

交付決定額(研究期間全体)：(直接経費) 2,300,000円

研究成果の概要(和文)：Pascalアーキテクチャを持つGPUを用いて、従来の14倍に相当する1秒間に $4.383 \times 10$ の12乗ビットという高速化を実現した。これまではカオスの長期予測不可能性によっていた堅牢性を、ランダム性を付加することによって大幅に向上させた。アルゴリズムの基本部分を見直すことにより、サイドチャンネル攻撃にも耐えうるものとした。周期については、4200個のカオス時系列を並列に動作させることで、10の22432乗という超長周期を可能とした。また、カオス時系列の個数と周期の対数との間に良い直線性があることを見出した。これによって、必要な長さの周期を持つ乱数発生器をデザインすることが可能となった。

研究成果の学術的意義や社会的意義

倍精度浮動小数点型演算を用いて実装した装置については、ハイエンドのGPUを用いてインターネットのバックボーンの暗号化に利用可能である。これにより伝送途中での盗聴を防ぐことができる。固定小数点型演算方式で実装した装置については、浮動小数点演算をサポートしていない組み込み系デバイスやIoT機器の情報セキュリティ強化にも応用できると期待できる。近年、スマートフォンやIoT機器の情報セキュリティ対策が叫ばれており、重要な要素技術になるものと考えられる。最近のスマートフォンには、高性能のGPUが搭載されているものが増えているため暗号・復号時のCPUへの負荷を減らすことが可能となった。

研究成果の概要(英文)：The faster pseudo-random number generator is implemented by GPU which has Pascal architecture. The rate of generation has reached 4.383 Tb/s with double-precision-floating-point arithmetic and 1.779 Tb/s with fix-point arithmetic. Additional randomness has made the time series securer, and the revised basic algorithm has made it resistant to side-channel-attack and extended the period to 10 to the 22432th power by parallel-working 4200 chaotic-time-series on GPU. The period by 4200 time-series is too huge for security application in real life, however we have found fine relation ship between the number of time series and the logarithm of the periods. In order to determine the necessary number of time series for a cipher application the approximation curve is useful.

研究分野：情報工学

キーワード：カオス 疑似乱数 疑似乱数発生器 GPU 超長周期 超高速

25

26

27

28

29

30

31

32

33

34

35

36

37

38

39

40

41

42

43

44

45

46

47

48

49

50

51

52

53

54

55

56

57

58

59

60

61

62

63

64

65

66

67

68

GPGPU

rS GPGPU

I

GPU

GPGPU@

CPU

300 Gbps

GPU

GPU

5

9x3

GPU [a9x3

Mb

GPU

Pascal [c]

3 M

3 MW

3TEg8

5, W9x36x

GPGPU

□

GPU

14 b9x3

MG

4200 b

b468e

10<sup>22432</sup> c0

P

b6,8)

R<sup>2</sup> = 1 [6

Figure 1 bWgKS3d)

8MOGK

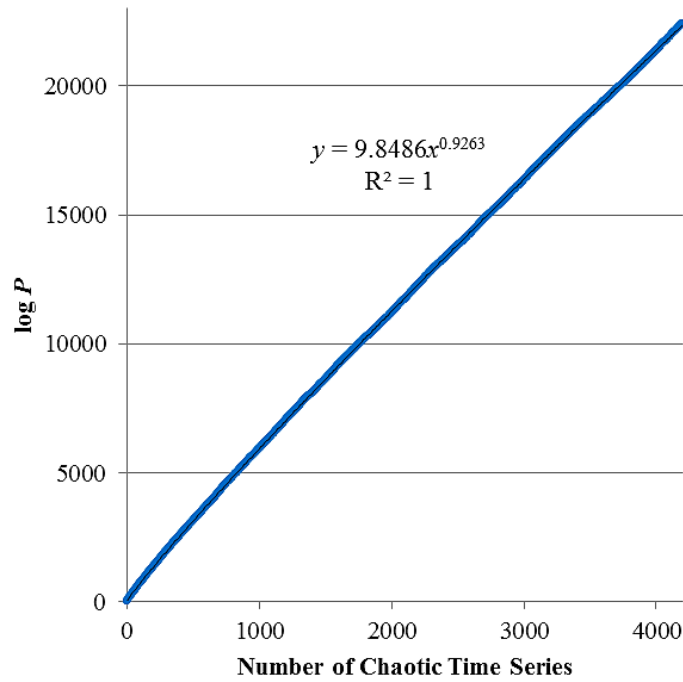


Figure 1: The digit of the whole period of CNNs ( $\log P$ ) as a function of the number of chaotic time series ( $N$ ).

GPU [6] NVIDIA Tesla P100 [6]  
 8KS [6] 50 (cWb) [6]  
 (1) [6] 8S [6] 4.383 [6]  $10^{12}$  bps [6] 2x9x3KS [6]  
 [6] GPU V[48] OS d [6] 1.34 h [6] M [6] Figure 2  
 [6] Table 1 [6] v-CNN [6] [6]  
 (2) [6] 0.66 h [6] [6]  
 O [6]  $1.7785 \times 10^{12}$  bps [6] 2x9x3KS [6] Figure 3 [6] Table 2 [6] pi-FPA [6] pr-FPA  
 [6] [6]

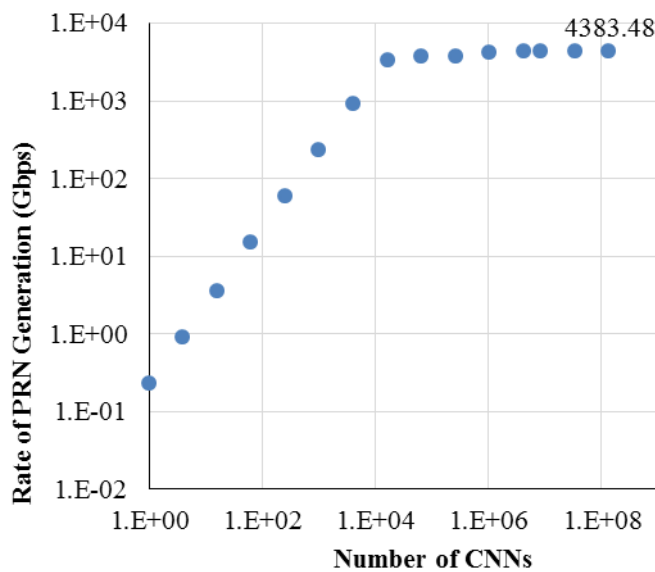
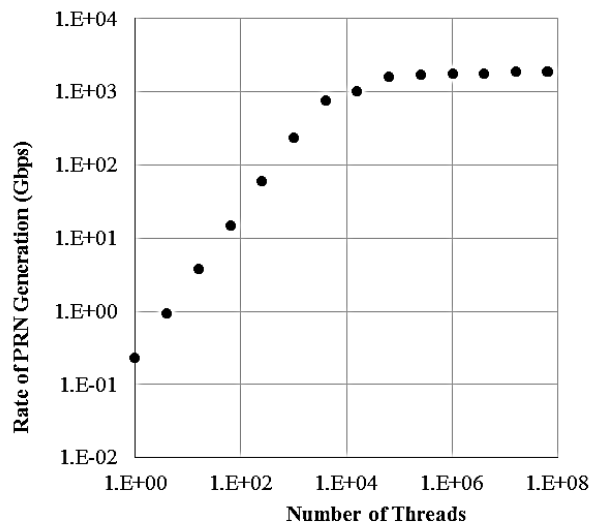


Figure 2. Rate of PRN generation by v-CNN with P100.

**Table1. Rate of PRNG with double-precision arithmetic (CNN) and the improved method (v-CNN).**

GPU	Tesla Accelerator	P100	K40	K10	C2070
	GPU Architecture	Pascal	Kepler	Kepler	Fermi
CUDA	CUDA Version	8.0	8.0	5.0	5.0
	CUDA Core <sup>a)</sup>	3584	2880	1536	448
	FP64 FMAD	1792	960	64	224
Random Number Generation (Gbps)	CNN	3827 <sup>c)</sup>	1687	191 <sup>b)</sup>	320 <sup>b)</sup>
	v-CNN	4383 <sup>d)</sup>	1757	-	-

a) FP32 (FMAD). b) Published result in reference 4. c) Number of CNNs is  $8.39 \times 10^6$ .  
d) Number of CNNs is  $1.34 \times 10^8$ .



**Figure 3. Rate of PRN generation using pr-FPA with GPU (Tesla P100) as a function of the number of threads.**

**Table 2: Rate of PRN generation by CNN types.**

CNN Type	Number of Threads	Max Rate of PRN Generation (Tbps)
i-FPA <sup>a)</sup>	$6.6060288 \times 10^7$	1.8277
pi-FPA <sup>b)</sup>	$6.7108864 \times 10^7$	1.8570
pr-FPA <sup>b)</sup>	$6.6060288 \times 10^7$	1.7785

a) The activation function  $f_1$  is used for  $\alpha$  series and  $f_2$  is used for  $\beta$  series respectively to make orbit periods different.  
b) The activation function  $f_1$  is used for both subseries and with the perturbation  $I_D = 0.119725$  to make orbit periods different.



